

УДК 537.523.4

ТЕХНИЧЕСКАЯ ФИЗИКА

Б. М. КОВАЛЬЧУК, В. В. КРЕМНЕВ, Г. А. МЕСЯЦ

ЛАВИННЫЙ РАЗРЯД В ГАЗЕ И ГЕНЕРИРОВАНИЕ
НАНО- И СУБНАНОСЕКУНДНЫХ ИМПУЛЬСОВ БОЛЬШОГО ТОКА

(Представлено академиком Л. А. Арцимовичем 16 VII 1969)

Для получения импульса тока с амплитудой $i_a \approx 10^2$ а и более и длительностью 10^{-8} сек. и менее в качестве коммутаторов используют искровые разрядники⁽¹⁾. Если время коммутации разрядника $t_k \ll \sqrt{LC}$, то $i_a \approx U_0 \sqrt{C/L}$, а $t_i \approx 1/\sqrt{LC}$, где U_0 — зарядное напряжение, L — индуктивность контура, C — емкость конденсатора. Из-за образования тонкого канала в разряднике обычно величина L не менее $10^{-9} \div 10^{-8}$ гн^(2, 3), причем $L \sim U_0$. Для уменьшения L обычно используют параллельное включение большого числа разрядников. Тем не менее получение $t_i < 10^{-8}$ сек. обычно встречает большие трудности. Для устранения индуктивности канала разряда и получения

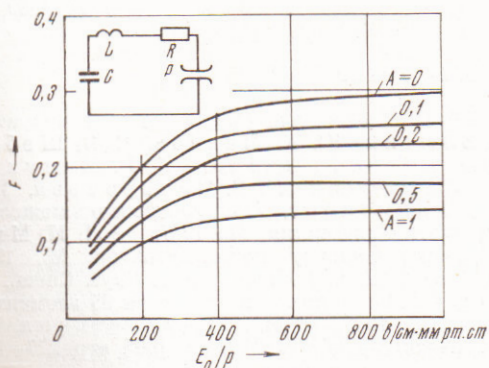


Рис. 1

Рис. 1. Зависимость $F(E_0/p)$ при различных величинах $A = a_0 v_0 RC$ и $L = 0$

Рис. 2. Конструкции генераторов тока.

a: 1 и 5 — электроды; 2 — конденсатор, $C = 6.2 \cdot 10^{-9}$ ф, $\epsilon_r = 700$; 3 — воздушный зазор, $\delta = 3$ мм, давление 110 мм рт. ст.; 4 — поджигающий электрод, импульс для поджига 2 кв, длительность 10 нсек; 6 — титановая керамика для инициирования разряда⁽⁷⁾; 7 — пунтк с сопротивлением, $6 \cdot 10^{-3}$ см; 8 — корпуч.

b: 1 — электрод; 2 — конденсатор, $C = 1.5 \cdot 10^{-10}$ ф, $\epsilon_r = 80$; 3 — зазор, $\delta = 0.3$ мм, давление воздуха 760 мм рт. ст.; 4 — поджигающий электрод; 5 — диэлектрический слой из керамики на поверхности электрода; 6 — обкладки конденсатора

импульсов тока с t_i вплоть до 10^{-10} сек. предлагается использовать одновременное развитие большого числа электронных лавин в газовом промежутке. Если в какой-то момент у катода образовалось N_0 электронов, то каждый из них начинает образовывать электронную лавину⁽⁴⁾.

Оценим величины i_a и t_i при разрядке емкости C на промежуток с лавинами (рис. 1). Если пренебречь величинами L и активным сопротивлением R , то зависимость тока i от времени t будет описываться системой уравнений

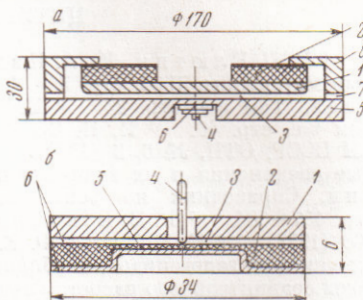


Рис. 2

$$i = v \left(\frac{eN_0}{\delta} + C \delta \int_{E_0}^E \alpha dE \right), \quad E = E_0 - \frac{1}{C\delta} \int_0^t i dt, \quad (1)$$

где α — коэффициент ударной ионизации; v — скорость дрейфа электронов в лавине; δ — длина искрового промежутка; e — заряд электрона; E_0 и E — начальная и текущая напряженность поля в газовом промежутке. Из (1) следует, что

$$i_a = \alpha v_0 U_0 C F(E_0 / p), \quad (2)$$

где p — давление газа; α_0 и v_0 — величины α и v при $E = E_0$, а $F(E_0 / p)$ определяется из системы (1) при $di / dt = 0$. Для воздуха зависимость $F(E_0 / p)$ приведена на рис. 1. Учет активного сопротивления контура R ведет только к изменению функции $F(E_0 / p)$. Если длительность импульса t_i определить из условия сохранения зарядов, то

$$t_i = U_0 C / i_a = [\alpha_0 v_0 F(E_0 / p)]^{-1}. \quad (3)$$

Например, для генераторов импульсов на рис. 2б по формулам (2) и (3) получается $i_a = 4 \cdot 10^3$ а, $t_i \approx 1,5 \cdot 10^{-10}$ сек.

Величину N_0 необходимо выбрать такой, чтобы амплитудный ток $i = i_a$ достигался еще до того, как в каждой из лавин число электронов составит величину $N = N_{kp} \approx 10^8$ ⁽⁵⁾, при которой начинается образование стримера. При этом

$$N_0 \approx i_a \delta / e N_{kp} v_0. \quad (4)$$

Свободные электроны у катода получают за счет фотоэффекта на катоде или облучением прикатодной области быстрыми электронами, α -частицами и т. д.

Увеличение тока i_a и уменьшение длительности t_i возможно не беспредельно из-за геометрических размеров конденсатора. Если

$[a_0 v_0 F(E_0 / p)]^{-1} \ll l \sqrt{\epsilon_r} / C_0$ (C_0 — скорость света, ϵ_r — относительная диэлектрическая проницаемость диэлектрика конденсатора, l — характерная длина пластин конденсатора, то предельно возможные i_a и t_i для конденсатора с круглыми пластинами с диаметром D при согласованной нагрузке определяются из соотношений

$$i_a \approx 0,5 \pi \epsilon_0 C_0 E_k D \sqrt{\epsilon_r}, \quad t_i = D \sqrt{\epsilon_r} / 2 C_0, \quad (5)$$

где $E_k = U_0 / d$ — напряженность поля в диэлектрике конденсатора, d — расстояние между пластинами. Например, для генератора, приведенного на рис. 2а, $t_i \approx 5 \cdot 10^{-9}$ сек, $i_a \approx 40 \cdot 10^3$ а.

Эксперименты показали, что для реализации лавинного разряда необходим импульсный заряд конденсатора C и перенапряжение на газовом промежутке (порядка двухкратного и более). При снижении перенапряжения образуются отдельные каналы в промежутке и i_a увеличивается. Для устранения этого один или оба электрода покрываются слоем диэлектрика с собственной емкостью $C_d \gg C$. При этом образование одного или нескольких каналов не ведет к большой проводимости промежутка из-за малого тока смещения через диэлектрик. Эти каналы излучают фотоны, которые за счет фотоэффекта на катоде создают нужное число начальных электронов.

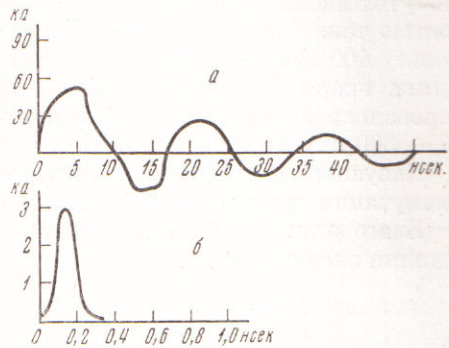


Рис. 3. Копии осциллограмм: *a* — тока в контуре генератора (рис. 2а) при $U_0 = 32$ кв; *b* — в генераторе (рис. 2б) при $U_0 = 4$ кв

нов. При этом для осуществления лавинного разряда необходимо иметь хотя бы один свободный электрон. При большом перенапряжении этот же эффект имеет место без диэлектрика на электродах из-за малой проводимости каналов⁽⁶⁾. Диэлектрический электрод позволяет, кроме того, устранить эрозию электродов и получить большую частоту следования импульсов.

На рис. 2 представлены эскизы двух генераторов импульсов. В одном из них параметры импульса тока ограничены (рис. 2а), а в другом не ограничены (рис. 2б) размерами конденсатора. На рис. 3 представлены типичные осциллограммы импульсов тока этих генераторов, колебания тока обусловлены многократным отражением импульса в конденсаторе. Осциллограмма рис. За снята с шунта генератора рис. 2а, а осциллограмма рис. 3б построена дифференцированием осциллограммы напряжения на конденсаторе 2, рис. 2б. Инициирующие электроны у катода создавались за счет ультрафиолетовой подсветки катода от разряда на поверхности керамики в анодной области⁽⁷⁾. Из осциллограмм следует, что величины t_i и i_a на рис. За удовлетворительно совпадают с расчетными по формулам (5), а на рис. 3б — по (3) и (4).

Коммутация тока при помощи лавинного разряда осуществлялась также от пучка быстрых электронов. Конструкция генератора аналогична приведенной на рис. 2. Диэлектрик из промежутка убирался, а в качестве катода использовалась фольга из Al толщиной 50 μ , через которую в промежуток вводился пучок электронов с энергией 400 кэв, током 100 а, плотностью тока 4 а/см², длительностью 20 нсек. и энергией на входе через фольгу 400 кэв. Конденсатор заряжался до постоянного напряжения 50 кв. Длина искрового промежутка составляла 0,8 см, а давление азота регулировалось в пределах 3 \div 15 атм. (статическое пробивное напряжение 75 \div 300 кв). При давлении газа 15 атм. амплитуда тока составляла 12 ка.

Визуальные наблюдения показывают, что во всех случаях лавинной коммутации светится весь объем промежутка и нет отдельных каналов.

Благодарим Ю. Ф. Поталицына и А. С. Ельчанинова за помощь в проведении экспериментов.

Томский политехнический институт
им. С. М. Кирова

Поступило
9 VII 1969

ЦИТИРОВАННАЯ ЛИТЕРАТУРА

- ¹ Г. А. Воробьев, Г. А. Месяц, Техника формирования высоковольтных наносекундных импульсов, 1963. ² С. И. Андреев, М. П. Ванюков, ЖТФ, 31, 8, 961 (1961). ³ R. Grünberg, Zs. Naturforsch., 20a, 202 (1965). ⁴ Г. Ретер, Электронные лавины и разряд в газах, М., 1968. ⁵ G. A. Mesjatz, Y. J. Bichkooff, A. M. Iskoldski, Compt. Rend. 8 Conf. Int., Phenomenes in Ionized Gases, Vienna, 1967, p. 210; Г. А. Месяц, Ю. И. Бычков, А. М. Искольдский, ЖТФ, 38, 8 (1968); Г. А. Месяц, В. В. Кремнев и др., ЖТФ, 39, в. 1, 75 (1969). ⁶ Г. А. Месяц, А. М. Искольдский и др., Журн. прикл. мех. и техн. физ., 3, 77 (1968). ⁷ Б. М. Ковалчук, Приборы и техн. эксп., № 4, 116 (1968).